

日本建築総合試験所 正員 ○阪田憲次  
 鳥取大学 " 西林新蔵  
 " " 木山英郎

### 1. まえがき

コンクリートのクリープの内部機構については、従来より多くの研究者によつて検討され、シーページ理論、遙延弾性説および局部破壊説等によつて説明されてきた。また、乾燥収縮の内部機構については、供試体と環境との湿度による配分起因するシーページ効果によることが、明らかにされていふ。

著者らは、コンクリートの二種の性質を論じる場合の重要な要因であるコンクリート中の水分の挙動に着目し、乾燥収縮およびクリープの内部機構をできる限り定量的に明らかにしようと考え、一連の研究を実施してきた。すでに、乾燥収縮の内部機構については、コンクリートの乾燥によるもろさ水分の逸散の機構および逸散水量と乾燥収縮ひずみとの関係について検討し、コンクリートの乾燥収縮の機構が、二つの異なった機構からなり、しかもそれがコンクリート中の水分の逸散の機構の相異に起因すること等を明らかにした。

本研究は、コンクリートの乾燥によるもろさ逸散水量と供試体寸法との関係および逸散水量とクリープひずみとの関係を検討し、クリープの内部機構を定量的に明らかにすることを試みたものである。また、コンクリートのクリープおよび乾燥収縮における環境の湿度条件の影響についても若干の考察を加えた。

### 2. 実験概要

本実験に使用した骨材は天然骨材(吸水量；粗骨材1.21, 細骨材1.23), 造粒型人工軽量骨材ライオナイト(吸水量；粗骨材2.30, 細骨材4.00)および非造粒型人工軽量骨材宇宙軽骨(吸水量；粗骨材13.0, 細骨材11.5)である。セメントは大成社製普通ポルトランドセメントを用いた。

表-1に本実験に用いたコンクリートの配合を示す。本実験においては、目標強度を定めず、セメント、水、細骨材および粗骨材の容積率が、コンクリートの種類にかかわらず一定となるよう考慮した。乾燥収縮測定用の供試体は、 $10 \times 10 \times 10$  cmの断面を有し、長さが30, 40, 50, および60 cmの角柱である。クリープ測定用の供試体および載荷装置は、図-1に示す通りである。コンクリートの練り混ぜは、4切可換式ミキサーで行はれ、練り固めは棒突き法によつて。供試体は、打設後24時間実験室中(室温)に放置して後脱型し、その後は材令28日まで標準水中養生を施した。乾燥収縮、クリープおよび逸散水量の測定は、材令28日目から開始し、約120日間測定を継続した。なお、クリープ試験においては、除荷後約30日間の回復クリープを測定した。ひずみの測定は、フーケンベルガーモードひずみ計(被長10インチ), 逸散水量の測定は、卓上台秤(秤量；10kg, 感量；1gおよび秤量；20kg, 感量；2g)を用いて行はれ。表-2に、本実験の条件を一括して示す。

### 3. 実験結果の考察

図-2に、100日目の乾燥収縮と環境の湿度との関係を示す。図-2によれば、供試体の寸法にかかわらず乾燥収縮ひずみの値は、骨材種別および環境の湿度により、ほぼ一定となる。一方、ひずみの場合も、環境の湿度が高くなるほど、その乾燥収縮ひずみは小さくなり、両者の間にほぼ明確な直線関係が成立する。さらに、天然

表-1 コンクリートの配合						
供試体	W/C	C	S	G	PoW	骨材
天然骨材	4.5	360	102	45	223	1045 C <sub>1</sub> W <sub>1</sub>
ライオナイト	4.5	360	102	45	348	518 C <sub>2</sub> W <sub>2</sub>
宇宙軽骨	4.5	360	102	45	601	607 C <sub>3</sub> W <sub>3</sub>

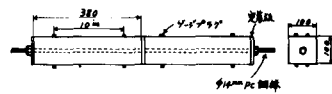


図-1 クリープ供試体および載荷装置

表-2 実験条件			
クリープの 寸法	供試体寸法	温度	温度
天然骨材	10×10×30 cm	6mm	30°C(L)
ライオナイト	10×10×40 cm	10×10×38 cm	20°C(M)
宇宙軽骨	10×10×50 cm	10×10×45 cm	100°C(W) (水槽)

骨材をチバライオナイトを用いたコンクリートの乾燥収縮ひずみは小さい場合も大差はないが、宇部軽骨を用いたコンクリートのそれは、他に比較して若干小さくなる。これは、コンクリートの乾燥収縮ひずみが、乾燥ヒモもセメントペースト中の水分の逸散によるものであるとするならば、吸水量の多い宇部軽骨を用いたコンクリートにおける場合は、骨材中の遊離水がセメントペースト部へ補給され、その結果セメントペーストの収縮が妨げられたためであると考えられる。

図-3は、寸法 $10 \times 10 \times 40$ cmの供試体の逸散水量と時間との関係を示したものである。図-3によれば、乾燥ヒモもセメントコンクリート中の水分の逸散は、使用骨材の吸水量(すなわち、供試体が

有する全水量)が多ほど、環境の湿度が低いほど、その逸散水量は多くなる。

図-4は、逸散水量と乾燥収縮ひずみとの関係の一例を示したものである。著者らが以前に行なった研究<sup>1)</sup>によれば、逸散水量と乾燥収縮ひずみの関係は、環境の湿度が低い場合(50% R.H.)には、一つの折線で表わされた。本実験においてもほぼ同様の傾向が見られ、折線はいは、放物線で表わされる。しかし、吸水量の少ない天然骨材を用いたものでは、ほぼ直線と考え得る。すなわち、コンクリートが乾燥された場合には、最初の段階においては、逸散水量が多ほどかからず、乾燥収縮ひずみはそれほど増大しないが、つきの段階にはすれば、乾燥収縮ひずみの増加の割合は大となる。これは、コンクリート中の水分の存在形態にむしろ逸散の機構の相違によるものと解釈できる。すなわち、コンクリート中の水分はその存在形態によつて、化学的結合水、セメントゲル中のゲル水、毛細管空隙中のキャビラリー水および骨材中の遊離水の4種類に分類され、最初の段階においては、骨材中の水や毛細管空隙中の水の逸散が支配的であるため、乾燥収縮ひずみはそれほど増大しないが、つきの段階になれば、ゲル空隙中の水の逸散が支配的になり、乾燥収縮ひずみの増加の割合が大きくなるのであるかと推論される。

以上述べたことをまとめると、コンクリートの乾燥収縮の内部機構は、従来より述べられていくように、二ページ理論によつて説明することができる、コンクリート中の水分の逸散と密接な関係があることが明らかになった。

表-3は、クリーク試験結果を一括して示したものである。紙面の関係上詳細は省略するが、終局クリークひずみによれば、天然骨材を用いたコンクリートのクリークひずみが、軽量骨材を用いた場合のそれよりも若干大きいこと、骨材の種類によってかからず、環境の湿度が低いほどクリークひずみは大きくなること、さらに、吸水量の多い骨材を用いたコンクリートほど、クリークひずみの立ち上がりが小さく、ひずみが一定値に収めんするのかあるいはひずみが明らかになつた。

一方、持続荷重を載荷した供試体の逸散水量は、乾燥収縮に起因する逸散水量と持続荷重によつて圧出される逸散水量の和であると考えられる。従つて、クリークの内部機構を考えた場合には、両者を分離する必要がある。ひずみにくつても同様に分離しきれはまづないが、前述レジストリ(乾燥収縮ひずみは供試体の寸法にかか

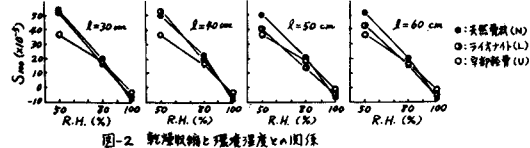


図-2 乾燥収縮と環境湿度との関係

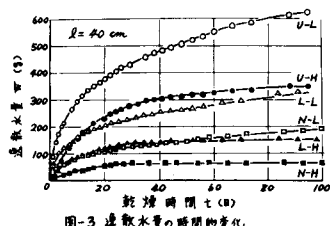


図-3 逸散水量の時間的変化

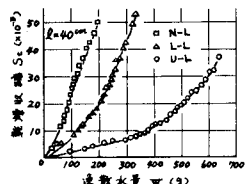


図-4 乾燥収縮と逸散水量との関係

表-3 クリーク試験結果

骨材 種別	湿度 R.H. (%)	入庫時 強度 f_c(kg/cm²)	初期 強度 f'_c(kg/cm²)	初期 含水 率 w_0(%)	初期 含水 率 w_0(%)	初期 含水 率 w_0(%)	初期 含水 率 w_0(%)	クリーク試験結果		持続荷重 P_s(kN)	持続荷重 P_s(kN)	n (%)	逸散 水量 W(g)
								A	B				
天然	50	125.0	102.1	30.1	26.3	58.3	58.5	0.264	0.201	58.6	1.82	12.6	103
骨材	80	-	111.5	32.6	30.3	26.7	20.5	0.222	0.236	29.5	0.72	6.1	22
(N)	100	-	103.1	31.9	31.0	26.2	15.5	0.269	0.266	21.7	0.62	10.0	0
珪藻土	50	72.8	59.2	50.3	44.9	44.5	6.8	0.230	0.221	66.4	0.76	15.6	225
(L)	80	-	72.0	52.0	44.3	26.3	37.0	0.262	0.236	29.7	0.63	10.6	187
(L)	100	-	72.8	48.4	46.3	19.5	27.0	0.263	0.252	22.7	0.69	26.5	0
骨材	50	97.5	76.0	56.6	51.3	41.0	59.3	0.262	0.221	47.4	0.84	21.0	327
珪藻土	80	-	73.8	58.9	51.0	31.0	21.0	0.266	0.231	32.4	0.57	18.8	276
(U)	100	-	77.6	57.3	49.1	26.4	15.7	0.277	0.235	28.6	0.52	21.5	0

むらすほぼ一定であつたため、持続荷重を載荷した後に供試体のひずみから無載荷の供試体のひずみを差引くことによってクリープひずみを得ることができます。しかし、浸散水量の場合には、供試体の寸法によってかなり異なり、持続荷重が載荷された供試体の浸散水量のうち、乾燥収縮によるもののがどの程度であるかといふことを決定するには、必ずしも容易でない。一般に、乾燥収縮によるコンクリート中の水分の浸散は、供試体の体積と環境に露出してある表面積との関数であると考えられます。本研究においては、供試体の体積と露出表面積とを値を変数として換算表面積 $S^*$ に対するものを求めた。すなまら、 $S^*$ は供試体と同体積を有する立方体の表面積である。このようにして定めた $S^*$ と浸散水量の関係の一例(100日)を図-5に示す。図-5によれば、いずれの骨材を用いた場合にも、両者の関係はほぼ直線で近似できる。したがつて、持続荷重を載荷された供試体の $S^*$ を計算すれば、図-5より、持続荷重を載荷した供試体の乾燥収縮に起因する浸散水量が求まる。このようにして求めた各材令における持続荷重に起因する浸散水量とクリープひずみとの関係の一例を図-6に示す。図-6によれば、環境の湿度が低い場合には、コンクリートのクリープはコンクリート中の水分の浸散に起因するといふのが大であることがわかつ。しかし、湿度が高い場合にはも同様の傾向が見られるが、湿度の低い場合には顕著ではない。

いま、クリープひずみをシーベージ効果による非回復性のひずみ( $f_s$ )、透水性による回復性のひずみ( $f_d$ )および局部破壊による非回復性のひずみ( $f_l$ )よりもうものと仮定し、また、湿度が100%の場合には $f_s = 0$ としてそれを成分を求めると表-4のようになります。表-4によれば、上述のとく、環境の湿度が低い場合にはシーベージ効果によるクリープひずみの占める割合が大になります。また、使用した骨材の種類によりその割合は異なり、一般に骨材の吸水量の大いきものほどその割合が小さくなる、といふ。これは、持続荷重によって圧迫されたセメントゲル中のゲル水が骨材中の水によって補われたためではないかと思われます。また、回復性のひずみは一般に小さくなる、といふ。

本研究においては、湿度が100%の場合にはシーベージ効果がなく、さらに、シーベージ効果によるクリープひずみは非回復性であると仮定してみたが、これらの点についてはさらに詳しく検討し、コンクリートのクリープの内部機構がいかほどのであるかといふ問題を明らかにしてゆきたいと考えています。

### 〈参考文献〉

- 西林新蔵、坂田憲次、コンクリートの乾燥収縮の内部機構に関する一考察、「材料」第22巻、第232号、昭和48年1月。

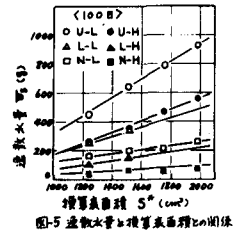


図-5 浸散水量と換算表面積との関係

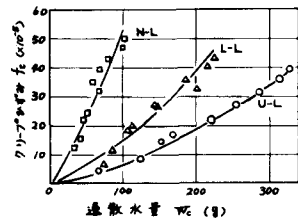


図-6 クリープひずみと浸散水量との関係

表-4 クリープひずみ成分

骨材	N			L			U		
	50%	80%	100%	50%	80%	100%	50%	80%	100%
$f_s \times 10^3$	54.3	26.0	20.2	49.5	26.3	19.5	41.0	31.0	26.4
$f_d \times 10^3$	(1.00)	(1.00)	(1.00)	(1.00)	(1.00)	(1.00)	(1.00)	(1.00)	(1.00)
$f_l \times 10^3$	32.3	5.5	0	21.0	3.1	0	8.9	3.3	0
$f_s$	(0.61)(0.21)	(0.49)(0.12)	(0.47)(0.12)	(0.22)	(0.11)	(0.22)	(0.11)	(0.11)	(0.11)
$f_d$	4.8	4.3	4.2	7.5	7.2	3.5	10.6	6.2	4.9
$f_d$	(0.07)(0.17)	(0.20)(0.17)	(0.20)(0.17)	(0.27)	(0.18)	(0.24)	(0.20)	(0.19)	(0.19)
$f_l$	16.2	16.2	16.2	22.0	22.0	22.0	22.1	22.1	22.1
$f_l$	(0.30)(0.62)	(0.30)(0.62)	(0.30)(0.62)	(0.61)(0.82)	(0.61)(0.82)	(0.61)(0.82)	(0.61)(0.82)	(0.61)(0.82)	(0.61)(0.82)